РЕГЕНЕРАТИВНЫЙ ПОТЕНЦИАЛ СПЕРМАТОГОНИАЛЬНЫХ СТВОЛОВЫХ КЛЕТОК, ЭНДОТЕЛИАЛЬНЫХ И ЭПИТЕЛИАЛЬНЫХ ПРЕКУРСОРОВ МЫШЕЙ ЛИНИИ C57Bl/6 С МЕТАБОЛИЧЕСКИМИ НАРУШЕНИЯМИ

Е.Г.Скурихин, А.В.Пахомова, О.В.Першина, Л.А.Ермолаева, В.А.Крупин, Н.Н.Ермакова, Э.С.Пан, А.И.Кудряшова, О.Ю.Рыбалкина, Т.Б.Павловская, Н.В.Литвяков*, В.Е.Гольдберг*, А.М.Дыгай

НИИФиРМ им. Е.Д.Гольдберга, *Томский НИМЦ РАН, Томск, РФ

На модели угнетения сперматогенеза бусульфаном и *in vitro* исследовали свойства сперматогониальных стволовых клеток, эндотелиальных и эпителиальных прекурсоров семенников мышей линии C57Bl/6 в условиях метаболических нарушений. Показано, что сперматогониальные стволовые клетки (CD117⁻CD90⁺) и эпителиальные прекурсоры (CD45⁻CD31⁻Sca-1⁺CD49f⁺) из тестикул мышей с метаболическими нарушениями демонстрируют 17- и 28-кратный прирост клеточной массы соответственно и генерируют колонии *in vitro*. В то же время потенциал к самообновлению сперматогониальных стволовых клеток с иммунофенотипом CD51⁻CD24⁺CD52⁺ снижается. Сперматогониальные стволовые клетки (CD117⁻CD90⁺, CD117⁺CD90⁺) и эндотелиальные прекурсоры (CD45⁻CD31⁺) из тестикул мышей-доноров с метаболическими нарушениями демонстрируют высокую способность к приживлению в пораженных бусульфаном семенниках мышей линии C57Bl/6.

Ключевые слова: метаболические нарушения, воспаление, сперматогониальные стволовые клетки, эндотелиальные прекурсоры, эпителиальные прекурсоры

Согласно данным ВОЗ, распространенность бесплодия среди официально зарегистрированных разнополых браков составляет около 15% [13]. В большинстве случаев бесплодия приходится сталкиваться с такой проблемой, как гипогонадизм у мужчин [6]. Мужской гипогонадизм — плохо диагностируемое заболевание, т.к. его клинические проявления выражены слабо [2]. Считается, что нарушения углеводного и жирового обмена — одна из причин мужского гипогонадизма [8,12]. Распространенность нарушений репродуктивной функции, вызванных метаболическим синдромом, достигает 75% [3].

Адрес для корреспонденции: angelinapakhomova2011@gmail. com. Пахомова А.В.

Терапия гипогонадизма основывается на восполнении дефицита гормона тестостерона [3,5]. Гормонотерапией удается лишь уменьшить симптомы андрогенной недостаточности [9]. Восстановить численность сперматозоидов, функцию патологически измененных клеток, образующих ткань яичек, очень сложно.

Альтернативой гормональным препаратам для регенерации тканей семенников и половых клеток, может стать фармакологическая регуляция тканеспецифичных стволовых клеток. Ранее нами показано, что метаболические нарушения (МН) вызывают существенные изменения содержания сперматогониальных стволовых клеток (ССК), мезенхимных предшественников, гемопоэтических стволовых клеток, эндотелиальных и эпителиальных

прекурсоров в семенниках животных [4]. С какой популяцией незрелых клеток может быть связано восстановление мужской репродуктивной системы, не известно. Это не позволяет сформировать адекватную тактику фармакологической регуляции столовых и прогениторных клеток для лечения гипогонадизма.

Целью данного исследования являлось изучение *in vitro* и *in vivo* свойств ССК, эпителиальных и эндотелиальные прекурсоров семенников мышей линии C57Bl/6 с MH.

МЕТОДИКА ИССЛЕДОВАНИЯ

Эксперименты выполнены на мышах-самцах линии C57Bl/6 (*n*=50), полученных из питомника отдела биомоделирования НИИФиРМ им. Е.Д.Гольдберга (квалификационный сертификат имеется). Все манипуляции с животными проводили в соответствии с Европейской конвенцией о защите позвоночных животных, используемых в экспериментах или в иных научных целях. Исследование одобрено комитетом по контролю за содержанием и использованием лабораторных животных НИИФиРМ им. Е.Д.Гольдберга (протокол IACUC № 114062016).

Рождение животных принимали за 0-й день эксперимента. МН моделировали однократным подкожным введением в область холки 200 мг/кг стрептозотоцина ("Sigma") в 30 мкл фосфатного буфера через 1 сут после рождения и диетой с 28-х по 70-е сутки, обогащенной тяжелыми насыщенными жирами (ssniff EF R/M with 30% Fat; кат. № E15116-34). Для контроля использовали корм ssniff EF R/M control (кат. № Е15000-04). Мышей выводили из эксперимента на 70-е сутки после рождения передозировкой СО_а. МН контролировали по уровню глюкозы в крови и глюкозотолерантному тесту (ГТТ) [11], глюкозозависимому инсулинотропному полипептиду, тестостерону и инсулину в сыворотке ("Cusabio Biotech Co., Ltd."), концентрации жиров и холестерина в крови.

Были выделены 5 групп мышей (по 10 особей в каждой). В 1-ю группу вошли интактные животные (интактный контроль); во 2-ю — мыши с МН (опытная группа); в 3-ю — мыши с нарушением сперматогенеза бусульфаном; в 4-ю — мыши с нарушением сперматогенеза бусульфаном, получавшие клетки из тестикул мышей интактного контроля; в 5-ю — мыши с нарушением сперматогенеза бусульфаном, получавшие клетки из тестикул мышей с МН.

Потенциал к самообновлению стволовых и прогениторных клеток семенников мышей интактной и опытной групп оценили *in vitro* по методу [7] в нашей модификации. Ростовая среда состояла из среды DMEM, L-глутамина, БСА, антибиотиков, D-

глюкозы, β-эстрадиола, прогестерона, ЭТС, бычьего голо-трансферрина, инсулина, аскорбиновой кислоты, пирувата натрия, bFGF, EGF (все компоненты "Sigma"), 2-меркаптоэтанола ("ThermoScientific"). Инкубация проходила при 37°С, 100% влажности и 5% СО, в течение 7 сут. По окончании культивирования колонии собирали, механически разбивали на отдельные клетки. До и после культивирования изучали экспрессию поверхностных маркеров CD9, CD24, CD31, CD45, CD51, CD52, CD90, CD117 (c-kit), Sca-1, CD49f с использованием проточного цитофлюориметра "FACSCanto II" с программным обеспечением "FACSDiva" ("BD Biosciences"). По результатам цитометрических исследований делали вывод о потенциале к самообновлению ССК (CD117-CD90+, CD117+CD90+, CD51-CD24+CD52+), эндотелиальных (CD45-CD31+) и эпителиальных (CD45-CD31-Sca-1+CD49f+) прекурсоров.

В трансплантационном тесте оценивали эффективность приживления стволовых и прогениторных клеток семенников мышей-доноров 1-й и 2-й группы в семенниках мышей-реципиентов в условиях введения бусульфана [1,10]. Внутрибрюшинное введение цитостатика в дозе 40 мг/кг принимали за 0-й день эксперимента. Нарушение сперматогенеза бусульфаном контролировали по уровню тестикулярного тестостерона, патоморфологическим изменениям семенников, количеству ССК, сперматогоний (CD9+), эндотелиальных прекурсоров и эпителиальных прекурсоров в семенниках на 30-е сутки эксперимента. На 30-е сутки после введения бусульфана мышам-реципиентам в зону тестикул rete testis вводили фракцию недифференцированных клеток (10⁴ клеток в 20 мкл фосфатного буфера) из семенников мышей-доноров 1-й или 2-й группы по протоколу [10] в нашей модификации. Клетки для трансплантации брали на 70-е сутки от начала моделирования МН. На 60-е сутки после введения бусульфана мышей-реципиентов 4-й и 5-й группы эвтаназировали в СО₂-камере и проводили морфологическое исследование семенников и оценивали экспрессию поверхностных маркеров в тестикулярной ткани по сравнению с 3-й группой.

Математическую обработку полученных результатов проводили стандартными методами вариационной статистики.

Достоверность различий оценивали с использованием параметрического t критерия Стьюдента или непараметрического U критерия Манна—Уитни.

РЕЗУЛЬТАТЫ ИССЛЕДОВАНИЯ

В результате введения стрептозотоцина и жировой диеты у мышей самцов линии С57В/6 наблюдалось

1

0

увеличение концентрации триглицеридов (на 11%) и ЛПОНП (на 37.5%) в сыворотке крови и индекса атерогенности (на 43%); концентрация сывороточных ЛПВП снижалась на 11.6% по отношению к интактному контролю. Одновременно с нарушением жирового обмена регистрировалась гипергликемия и нарушение ГТТ, повышался уровень инсулина и глюкозозависимого инсулинотропного полипептида в сыворотке крови, при этом концентрация свободного тестостерона уменьшалась (рис. 1). Выявленный комплекс изменений во многом соответствует клинической картине МН.

Ранее нами показано, что МН вызывают развитие патоморфологических изменения в тестикулярной ткани мышей-самцов C57Bl/6, свойственные гипогонадизму [4]. Одновременно в семенниках отмечалось тотальное уменьшение количества половых клеток и развивалась инфертильность. Сперматогенез в таких условиях поддерживается ССК. Между тем популяция ССК весьма неоднородна по экспрессии поверхностных маркеров и функциональной активности. Так, ССК с иммунофенотипом CD117—CD29+CD90+ представляют собой пул активно самообновляющихся предшественников половых клеток [14]. Экспрессия антигена CD117 является маркером дифференцировки ССК.

С какой из фракций ССК связаны поддержание и регенерация сперматогенеза при метаболическом гипогонадизме до сих пор не ясно. Мы оценили потенциал к самообновлению у ССК с иммунофенотипом CD117-CD90+, CD117+CD90+ и CD51-CD24+ CD52+ in vitro. По нашим данным, пролиферирующие ССК CD117-CD90+ мышей с МН генерировали колонии и по окончании цикла культивирования демонстрировали более значительный (17-кратный) прирост клеточной массы по сравнению с интактным контролем (3-кратный) (рис. 2, а). Клеточная масса дифференцирующихся ССК CD117+CD90+ во 2-й группе снижалась на 26%, в 1-й группе возрастала в 3 раза (рис. 2, a). На ССК CD51-CD24+ CD52+ мышей с MH и интактных культивирование оказывало ингибирующее действие (рис. 2, а).

Таким образом, у мышей с МН ССК СD117—CD90+ обладают значительным потенциалом к самообновлению, что свидетельствует о вовлечении этих клеток в регенерацию половых клеток при патологии. В условиях оптимальной жизнедеятельности сперматогенез обеспечивают дифференцирующиеся ССК CD117+CD90+.

Важный вопрос для тканевой регенерации — это вовлечение в этот процесс предшественников эндотелиальных и эпителиальных клеток. Проведенные

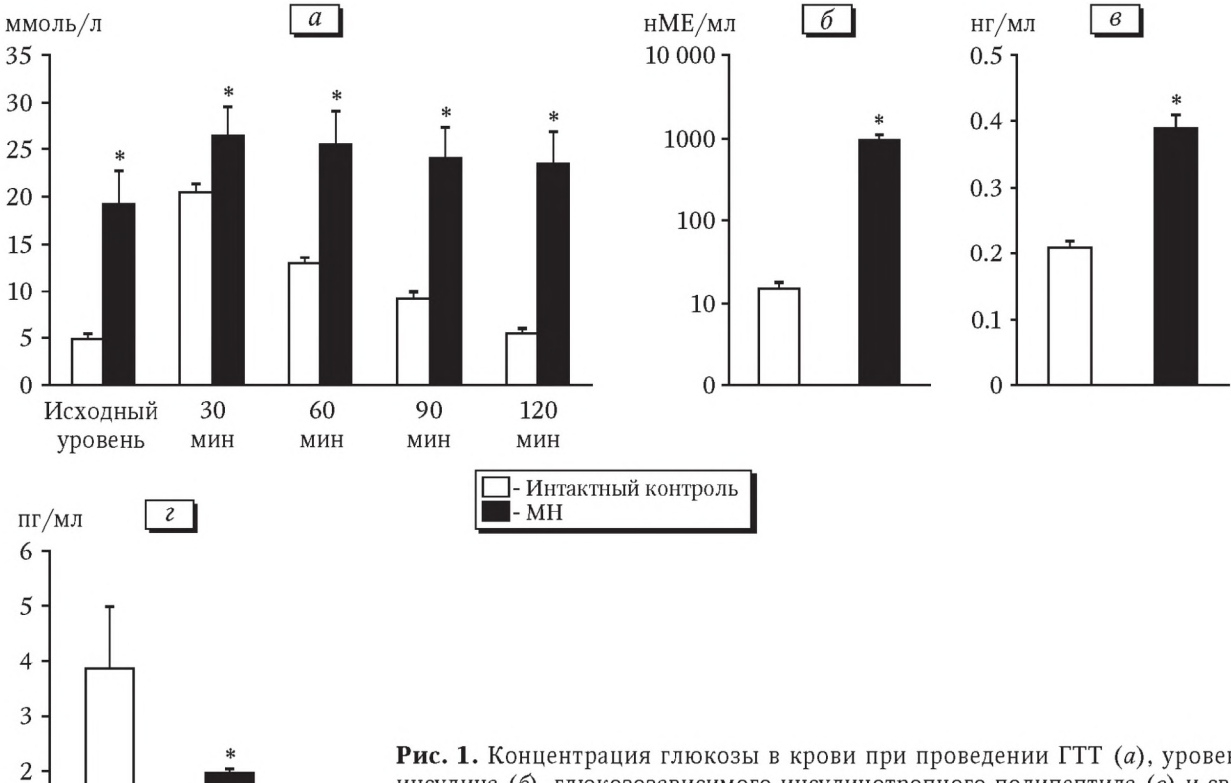


Рис. 1. Концентрация глюкозы в крови при проведении ГТТ (a), уровень инсулина (δ), глюкозозависимого инсулинотропного полипептида (s) и свободного тестостерона (z) в сыворотке крови мышей линии C57Bl/6 в условиях моделирования МН на 70-е сутки эксперимента. *p<0.05 по сравнению с интактными мышами.

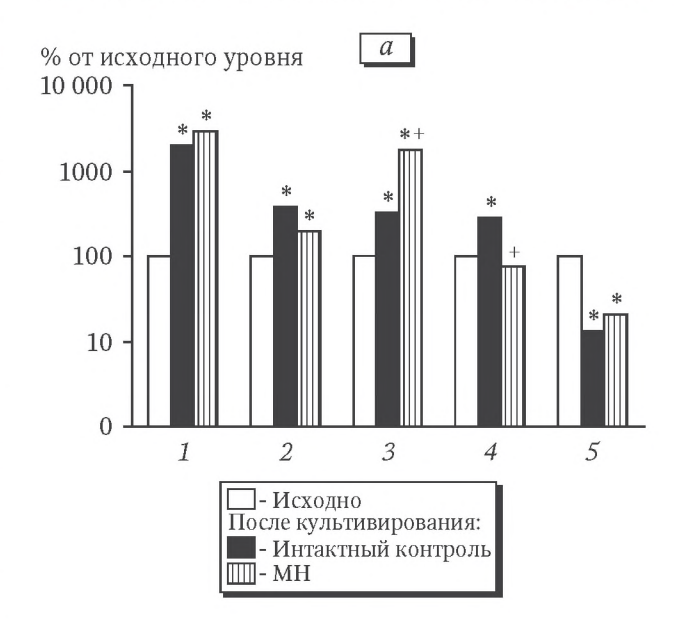
микробиология и иммунология 207

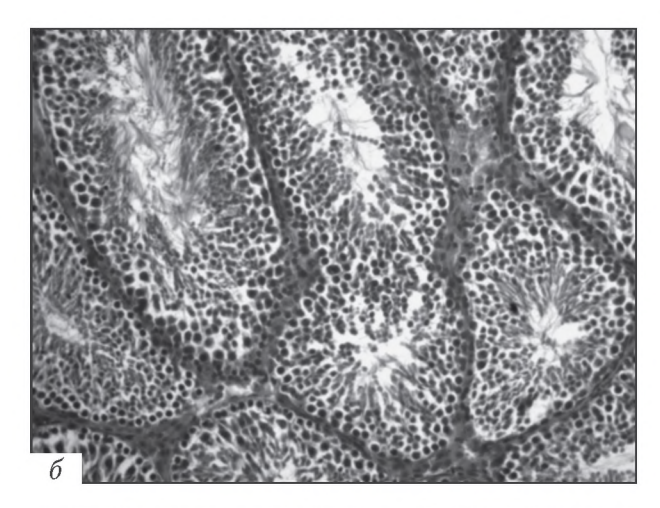
ранее патоморфологические исследования позволили нам сделать вывод о развитии гиперемии сосудов семенников животных с МН [4]. Такие незначительные нарушения микрососудистого русла объясняются низким потенциалом к самообновлению эндотелиальных прекурсоров (CD45—CD31+) у мышей с МН (рис. 2, а). В то же время жировая диета вызывает слущивание эпителия в просвет канальца, сокращение числа слоев сперматогенного эпителия в семенных канальцах, разрежение слоев сперматогенного эпителия [4]. Такие деструктивные изменения канальцевого аппарата инициируют стимуляцию (в 28 раз) эпителиальных прекурсоров (CD45—CD31—Sca-1+CD49f+) (рис. 2, а).

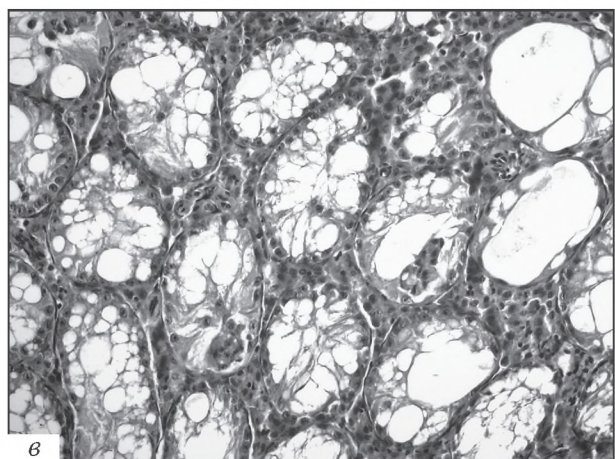
В трансплантационном тесте мы оценивали способность к приживлению стволовых и прогениторных клеток семенников мышей С57ВІ/6 с МН (мыши-доноры) в пораженных бусульфаном семенниках мышей С57ВІ/6 (мыши-реципиенты). Бусульфановая модель нарушения сперматогенеза характеризовалась снижением концентрации тестикулярного тестостерона (до 18% от интактного контроля), тотальным опустошением семенных канальцев (отсутствовали зрелые половые клетки, сокращалась популяция сперматогоний (CD9+), ССК с иммунофенотипом CD117+CD90+ и CD51-CD24+ CD52+), некробиозом, деструкцией клеток сперматогенного эпителия и слущиванием их в просвет семенных канальцев (таблица; рис. 2, б, в). В извитых канальцах отсутствовали все слои сперматогенного эпителия вплоть до базальной мембраны, только в единичных канальцах обнаруживались клетки Сертоли и отдельные сперматоциты. Ядра клеток Сертоли были в состоянии набухания, цитоплазма вакуолизирована и фрагментирована. В сохранившихся сперматоцитах обнаружены такие дегенеративные изменения, как вакуолизация цитоплазмы и ядра, кариопикноз и кариорексис. Большая часть извитых канальцев запустевала. В небольшом количестве канальцев (до 3% от общего количества) формировались крупные струк-

Рис. 2. Содержание ССК, эпителиальных и эндотелиальных прекурсоров тестикулярной ткани в питательной среде после культивирования (a) и морфологическая картина интактного семенника (δ) и через 30 сут после внутрибрюшинного введения бусульфана в дозе 40 мг/кг (a). Окрашивание гематоксилином и эозином, $\times 200$ (δ , a).

туры с большим количеством пикнотизированных ядер, фрагментами ядер с интенсивно окрашенной цитоплазмой, так называемые "семенные шары". Дополнительно цитостатик вызывал набухание неклеточных слоев собственной оболочки семенных







¹ — эпителиальные прекурсоры (CD45⁻CD31⁻Sca-1⁺ CD49f⁺); 2 — эндотелиальные прекурсоры (CD45⁻CD31⁺); 3 — ССК (CD117⁻CD90⁺); 4 — ССК (CD117⁺CD90⁺); 5 — ССК (CD51⁻CD24⁺CD52⁺).

 $p{<}0.05$ по сравнению *с исходным уровнем, ${}^{\scriptscriptstyle +}$ с интактным контролем.

канальцев, отек и просветление цитоплазматического матрикса миоидных клеток, увеличение площади интерстициальной ткани за счет отека и инфильтрации интерстиция лимфоцитами и макрофагами и гемодинамические нарушения (рис. 2, 6, B). Секретирующие тестостерон клетки Лейдига под влиянием бусульфана в большинстве своем разрушались, сохранившиеся клетки были веретеновидной

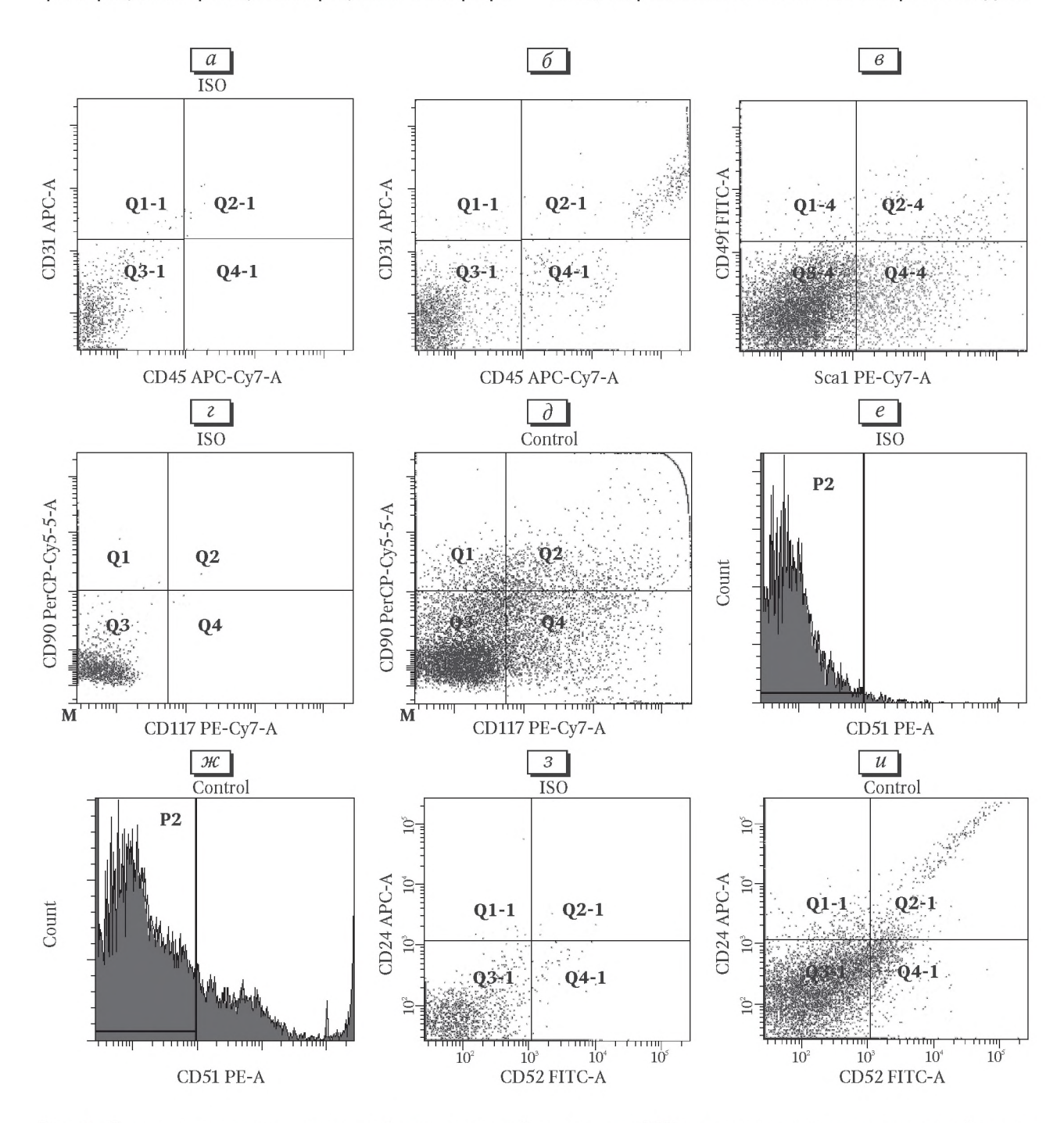


Рис. 3. Данные анализа количественной и качественной экспрессии ССК на мононуклеарах тестикулярной ткани интактных мышей линии C57Bl/6.

a — дот-плот изотипического контроля для IgG2a APC/IgG2b APC-Cy7; δ — дот-плот подтверждения фенотипа экспрессии Sca-1/CD49f; ϵ — дот-плот изотипического контроля для IgG2a Per-Cy5,5/IgG2b PE-Cy7; δ — дот-плот подтверждения фенотипа экспрессии CD117/ CD90; ϵ —изотипический контроль для IgG2b PE; κ — подтверждение фенотипа CD51; ϵ — дот-плот изотипического контроля для IgG2a APC/IgG2b FITC; ϵ — дот-плот подтверждения фенотипа экспрессии CD24/CD52.

Содержание ССК, сперматогоний, эпителиальных и эндотелиальных прекурсоров в тестикулярной ткани мышей интактного контроля, мышей через 30 сут после введения бусульфана (40 мг/кг) и мышей-реципиентов после трансплантации (% от всех окрашенных мононуклеаров; $M\pm m$)

Популяция клеток		Интактный контроль (1-ягруппа)	Бусульфан (3-я группа)	Мыши-реци- пиенты с донорскими клетками от интактных мышей (4-я группа)	Мыши-реци- пиенты с донорскими клетками от мышей с МН (5-я группа)
Эпителиальные прогенитоные клетки (CD45 ⁻ CD31 ⁻ Sca-1 ⁺ CD49f ⁺)		0.223±0.003	1.931±0.036*	0.485±0.020+	0.695±0.0275+
Эндотелиальные прогениторные клетки (CD45-CD31 ⁺)		0.220±0.010	0.493±0.015*	1.445±0.083+	0.841±0.115+
CCK	(CD117 ⁻ CD90 ⁺)	0.283±0.005	0.556±0.060*	4.046±0.028+	2.703±0.018 ⁺
	$(CD117^{+}CD90^{+})$	26.878±0.847	5.973±0.199*	14.289±0.928+	9.026±1.037+
	$(CD51^{-}CD24^{+}CD52^{+})$	1.012±0.004	0.5358±0.007*	0.828±0.046+	0.602±0.025
Сперматогонии (CD9+)		60.728±0.745	26.718±0.260*	8.326±0.819+	8.221±0.942+

Примечание. p<0.05 по сравнению *c 1-й группой, +c 3-й группой.

формы или увеличены в размерах, их цитоплазма была гиперхромна и вакуолизирована. Закономерным итогом этих "катастрофических" изменений являлась инфертильность.

На 30-е сутки после введения клеточной фракции из семенников мышей-доноров с МН или интактного контроля (60-е сутки после введения бусульфана) отмечалось увеличение количества эндотелиальных прекурсоров и ССК с иммунофенотипом CD117—CD90+ и CD117+CD90+ в семенниках мышей-реципиентов (таблица; рис. 3). Прирост числа стволовых и прогениторных клеток при введении клеток интактного контроля был более значителен, чем при трансплантации клеток мышей с МН.

Таким образом, эндотелиальные прекурсоры (CD45—CD31+), ССК с иммунофенотипом CD117—CD90+ и CD117+CD90+ демонстрируют высокую способность к приживлению в пораженных бусульфаном семенниках. Эти клетки могут быть потенциальными мишенями для лекарственной стимуляции регенерации семенников при МН.

Следует отметить, что даже при высоком потенциале к самообновлению ССК (CD117—CD90+) и эпителиальных прекурсоров (CD45—CD31—Sca-1+CD49f+), способности приживляться в бусульфановых семенниках ССК (CD117—CD90+, CD117+CD90+) и эндотелиальных прекурсоров (CD45—CD31+) восстановления числа половых клеток до нормальных значений и регенерации сперматогенного эпителия и микрососудистой сети при МН не происходит. Объяснение этому мы видим в воспалении, которое сопутствует данной патологии. Нами было показано, что моделирование МН вызывает инфильтрацию тестикулярной ткани клетками воспаления,

увеличение концентрации IFN- γ (на 37%) и IL-17 (на 55%) в сыворотке крови, уровня TGF- β 1 (в 2.4 раза) и интерлейкинов: IL-2 (в 4.7 раза), IL-5 (в 3 раза), IL-17 (в 4 раза), IL-23 (в 1.7 раза) в семенниках. По-видимому, при МН медиаторы воспаления, оказывая ингибирующее действие на ССК и прогениторные клетки, нарушают программу регенерации тестикулярной ткани, что приводит к гипогонадизму и инфертильности.

ЛИТЕРАТУРА

- 1. *Биология* стволовых клеток и клеточные технологии. Т. 2 / Под ред. М.А.Пальцева. М., 2009.
- 2. *Манушарова Р.А.*, *Черкезова Э.И*. Гипогонадизм у мужчин // Фарматека. 2014. № 12. С. 61-69.
- 3. Роживанов Р.В., Яшина Ю.Н. Аспекты применения андрогенной заместительной терапии при лечении гипогонадизма у мужчин с сахарным диабетом и метаболическом синдромом // Ожирение и метаболизм. 2015. Т. 12, № 1. С. 11-14.
- 4. Скурихин Е.Г., Пахомова А.В., Ермакова Н.Н., Першина О.В., Крупин В.А., Пан Э.С., Кудряшова А.И., Ермолаева Л.А., Дыгай А.М. Роль тканеспецифичных стволовых и прогениторных клеток в регенерации поджелудочной железы и тестикулярной ткани при диабетических нарушениях // Клет. технол. в биол. и мед. 2016. № 3. С. 180-187.
- Corona G., Rastrelli G., Morelli A., Vignozzi L., Mannucci E., Maggi M. Hypogonadism and metabolic syndrome // J. Endocrinol. Invest. 2011. Vol. 34, N 7. P. 557-567.
- Jungwirth A., Diemer T., Dohle G.R., Giwercman A., Ko-pa Z., Krausz C., Tournaye H. Guidelines on male infertility. European Association of Urology, 2014. [URL: https://uroweb.org/wp-content/uploads/17-Male-Infertility LR.pdf].

- 7. *Kanatsu-Shinohara M.*, *Ogonuki N.*, *Inoue K.*, *Ogura A.*, *Toyokuni S.*, *Honjo T.*, *Shinohara T.* Allogeneic offspring produced by male germ Line stem cell transplantation into infertile mouse testis // Biol. Reprod. 2003. Vol. 68, N 1. P. 167-173.
- 8. *Kupelian V., Page S.T., Araujo A.B., Travison T.G., Bremner W.J., McKinlay J.B.* Low sex hormone-binding globulin, total testosterone, and symptomatic androgen deficiency are associated with development of the metabolic syndrome in nonobese men // J. Clin. Endocrinol. Metab. 2006. Vol. 91, N 3. P. 843-850.
- 9. Lunenfeld B., Mskhalaya G., Zitzmann M., Arver S., Kalinchenko S., Tishova Y., Morgentaler A. Recommendations on the diagnosis, treatment and monitoring of hypogonadism in men // Aging Male. 2015. Vol. 18, N1. P. 5-15.
- 10. Ogawa T., Arechaga J.M., Avarbock M.R., Brinster R.L. Transplantation of testis germinal cells into mouse

- seminiferous tubules // Int. J. Dev. Biol. 1997. Vol. 41, N 1. P. 111-122.
- 11. *Pacini G., Ahrén M., Ahrén B.* Reappraisal of the intravenous glucose tolerance index for a simple assessment of insulin sensitivity in mice // Am. J. Physiol. Regul. Integr Comp. Physiol. 2009. Vol. 296, N 5. P. R1316-R1324.
- 12. *Paoletti R., Bolego C., Poli A., Cignarella A.* Metabolic syndrome, inflammation and atherosclerosis // Vase Health Risk Manag. 2006. Vol. 2, N 2. P. 145-152.
- 13. WHO Manual for the Standardized Investigation, Diagnosis and Management of the Infertile Male. Cambridge, 2000.
- 14. Zhang M., Zhou H., Zheng C., Xiao J., Zuo E., Liu W., Xie D., Shi Y., Wu C., Wang H., Li D., Li J. The roles of testicular c-kit positive cells in de novo morphogenesis of testis // Sci. Rep. 2014. Vol. 4. P. 5936. doi:10.1038/srep05936.

Получено 05.08.16